

**พฤติกรรมการลึกหรอแบบขุดขึดของชั้นผิวแพร์โดยการ
Pack Cementation บนเหล็กกล้าคาร์บอนต่ำ
Abrasive Wear Behavior of Diffusion Layer by
Pack Cementation on Low Carbon Steel**

สุพร ฤทธิภักดี^{1*} สุขอังคณา ลี² นلين เพียรทอง² นภิลพร มีเมคง³

¹นักศึกษา ²ผู้ช่วยศาสตราจารย์ สาขาวิชาวิศวกรรมอุตสาหการ คณะวิศวกรรมศาสตร์ มหาวิทยาลัยอุบลราชธานี

จังหวัดอุบลราชธานี 34190

³ผู้ช่วยศาสตราจารย์ สาขาวิชาวิศวกรรมอุตสาหการ คณะวิศวกรรมศาสตร์ มหาวิทยาลัยสงขลานครินทร์ จังหวัดสงขลา 91100

บทคัดย่อ

งานวิจัยนี้ศึกษาพฤติกรรมการลึกหรอแบบขุดขึดของชั้นผิวแพร์โดยการ Pack Cementation บนเหล็กกล้าคาร์บอนต่ำ ส่วนผสมทางเคมีของการ Pack Cementation ประกอบด้วยเฟอร์โรซิลิคอน 42 เบอร์เซ็นต์, ทราย 17 เบอร์เซ็นต์, แอมโมเนียมคลอไรด์ 3 เบอร์เซ็นต์, ดินเหนียว 12 เบอร์เซ็นต์, น้ำแก้ว 26 เบอร์เซ็นต์โดยน้ำหนัก โดยใช้อุณหภูมิการอบชุบ 950 และ 1050 องศาเซลเซียส เวลาอบชุบ 20 และ 30 ชั่วโมง โดยทำการวิเคราะห์โครงสร้างชั้นผิวแพร์ด้วยเครื่องจุลทรรศน์อิเล็กทรอน และทำการทดสอบความแข็งผิวแพร์แบบวิเกอร์ ส่วนทดสอบการลึกหรอยู่ภายใต้มาตรฐาน ASTM G65 ด้วยเครื่องทดสอบแบบล้อยาง จากการทดลองพบว่า ที่อุณหภูมิอบชุบ 1050 องศาเซลเซียส เวลาอบชุบ 20 ชั่วโมง มีค่าความแข็งชั้นผิวแพร์สูงสุดเฉลี่ย 394.26 HV_{0.02} อัตราการลึกหรอต่ำสุดเฉลี่ย 0.0751 กรัม ลักษณะการลึกหรอแบบร่องลึก และเวลาอบชุบ 30 ชั่วโมง ชั้นผิวแพร์สูงสุดเฉลี่ย 910 ไมครอน โครงสร้างที่เกิดในชั้นผิวแพร์ประกอบด้วย Fe₅Si₃, α₁ และ αFe

Abstract

This research aims to study abrasive wear behavior of diffusion layer by pack cementation on low carbon steel. Chemical compositions of pack cementation include 42wt% Ferro-silicon, 17wt% sand, 3wt% NH₄Cl, 12wt% clay, and 26wt% Liquid glass. The specimens were heated in the induction furnace at 950°C and 1050°C for 20 and 30 hrs. Microstructure of diffusion layer was analyzed with Optical and Scanning Electron Microscopy and hardness of diffusion layer was tested with a Vickers indenter. The abrasive wear tests were carried out in a Dry Sand Rubber Wheel abrasion machine according to ASTM G65 standard. Results showed that the heating temperature of 1050°C for 20 hrs. yielded high hardness level of approximately 394.26HV_{0.02} and low average wear resistance of 0.0751g. The worn surface exhibited deep grooves. On the other hand, the heated treatment for 30 hrs. yielded the highest diffusion layer of approximately 910 μm and the microstructure of Fe₅Si₃, α₁ and αFe.

คำสำคัญ : การลึกหรอแบบขุดขึด เหล็กกล้าคาร์บอนต่ำ ชั้นผิวแพร์

Keywords: Abrasive Wear, Low Carbon Steel, Diffusion Layer

* ผู้ช่วยศาสตราจารย์ ประสาณานันไปรษณีย์อิเล็กทรอนิกส์ Suporn44us@yahoo.com โทร. 08 6418 5732

1. บทนำ

ปัญหาการลึกหรือแบบบูดขึดที่เกิดขึ้นกับวัสดุนั้นมีผลกระทบต่อเศรษฐกิจและค่าใช้จ่าย โดยได้ประมาณการไว้ที่ 1 ถึง 4 เปลอร์เซ็นต์ของมูลค่ามวลรวมประชาชาติของประเทศไทย (V. Jankauskas et al., 2008) และเป็นการลึกหรือที่เกิดขึ้นกับชั้นส่วนของเครื่องจักรประมาณ 80 ถึง 90 เปลอร์เซ็นต์ เป็นการเกิดขึ้นบริเวณผิวน้ำหน้าของชั้นส่วน (Wang et al., 2008) ขณะนี้ วิศวกรรมมีความจำเป็นที่จะต้องทราบปัจจัยหรือสาเหตุที่ทำให้เกิดการลึกหรือ และควรเลือกวัสดุหรือหัววิธีการป้องกันการเกิดการลึกหรือให้ถูกต้องและเหมาะสม ในส่วนของเหล็กที่จะนำมาใช้งานในด้านการด้านงานการลึกหรอนั้น จะต้องนำมาทำการปรับปรุงสมบัติของพื้นผิวน้ำหน้าก่อนด้วยกรรมวิธีทางการอบชุบด้วยความร้อน (Milo, 2002)

กระบวนการ Pack Cementation เป็นกระบวนการอย่างหนึ่งของกรรมวิธีการอบชุบทาบทหาร้อน ซึ่งเป็นการเพิ่มสมบัติของวัสดุทางกายภาพ (ASM, 1995 และ สุพร ฤทธิภักดี และ คงนะ, 2547) เพื่อให้เหล็กทนต่อการเกิดออกซิเดชัน และด้านงานการลึกหรือ กระบวนการ Pack Cementation จะต้องมีธาตุหลักในการแพร่เข้าไปภายในเนื้อเดิมของวัสดุหรือเคลือบติดอยู่บนผิวน้ำหน้าของวัสดุ ธาตุหลักที่ใช้กันอย่างแพร่หลาย เช่น Al, B, Cr, Si, Ti, V นอกจากนี้ ยังมีสารกระตุน ในกลุ่มยาโลเจน เช่น AlF_3 , NH_4Cl ซึ่งจะเป็นตัวทำให้เกิดการแพร่ของอะตอมของธาตุที่เติมเข้าไปในเนื้อเดิมหรือผิวน้ำหน้าของวัสดุ อุณหภูมิในการอบชุบ 900 ถึง 1150 องศาเซลเซียส นอกจากนี้

ยังมีต้นทุนและค่าใช้จ่ายค่อนข้างต่ำ ตลอดจนเป็นกระบวนการเพิ่มความแข็งผิวที่ง่ายและสะดวก (สุพร ฤทธิภักดี และ คงนะ, 2552)

สำหรับการทดสอบการลึกหรือแบบ Dry Sand Rubber Wheel : DSRW เป็นวิธีการทดสอบที่ใช้อย่างกว้างขวางเนื่องจากสามารถกำหนดได้ เช่น แรงกดซึ่งงานที่คงที่หรือการกำหนดระยะทางในการทดสอบ และการทดสอบแต่ละครั้งจะต้องอยู่ภายใต้เงื่อนไขเดียวกัน (สุพร ฤทธิภักดี และ คงนะ, 2553 และ Selvi et al., 2008 และ Vernon, 2009) จากเหตุผลในการทดสอบการลึกหรอด้วยตัวเอง น้ำม้าสู่การทดสอบครั้งนี้ อุตสาหกรรมที่นิยมนำการทดสอบตัวเองมาทดลอง เช่น อุตสาหกรรมน้ำมันเหมืองแร่ อุตสาหกรรมด้านการเกษตร และ เช่นเดียวกันมีการใช้ในห้องปฏิบัติการทางวิทยาศาสตร์โดยเฉพาะการทดสอบด้านวัสดุ วิศวกรรมซึ่งเป็นการทดสอบในลักษณะ Low Stress Abrasion อย่างเช่น เครื่องตัก เครื่องลาก หรือใบเกลี่ยถนน ชั้นส่วนแม่พิมพ์ เครื่องมือด้านการเกษตร ส่วนประกอบของโครงสร้าง และการทดสอบผิวเคลือบ

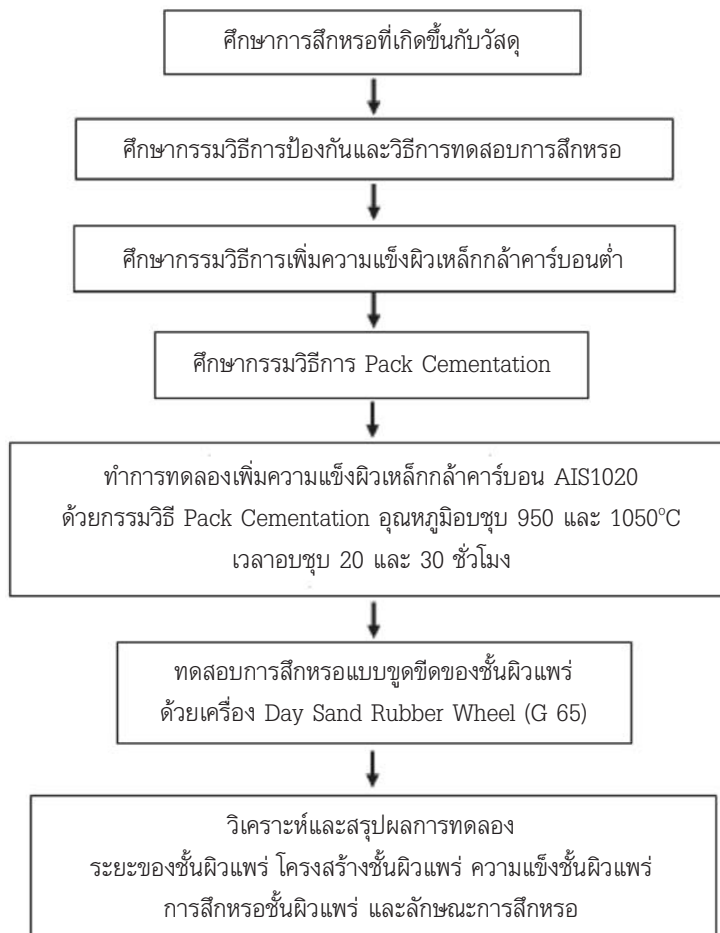
จากข้อมูลปัญหาดังกล่าวข้างต้น จึงทำให้มีแนวคิดให้วิธีการและขั้นตอนการเพิ่มความแข็งผิวของเหล็กกล้ารับอนุญาต เพื่อให้ได้มาซึ่งความต้านทานการลึกหรือแบบบูดขึด โดยใช้อุปกรณ์และวัสดุที่มีอยู่ในประเทศไทย และมีความสะดวก ราคาถูก ง่าย และปลอดภัย ตลอดจนสามารถนำมาใช้ในการเรียนการสอนในสถาบันการศึกษา ที่เกี่ยวข้องกับวิชาด้านโลหะวิทยาได้อีกด้วย

2. วิธีการทดลอง

2.1 ขั้นตอนการวิจัยและการทดลอง

ขั้นตอนการทำวิจัยและทดลองในครั้งนี้ เริ่มด้วยทำการศึกษาปัญหาต่าง ๆ ที่เกิดขึ้นกีழลักษณะ

การลึกหรอ แนวทางการแก้ไข การเพิ่มความแข็ง ให้กับเหล็กกล้าคาร์บอนต่อ การทดสอบการลึกหรอแบบชุดชิด และด้านอื่น ๆ ที่เกี่ยวข้องกับการทำวิจัย ครั้งนี้ ดังแสดงในรูปที่ 1



รูปที่ 1 ขั้นตอนการปฏิบัติงานวิจัยและการทดลอง

2.2 วัสดุที่ใช้ในการทดลอง

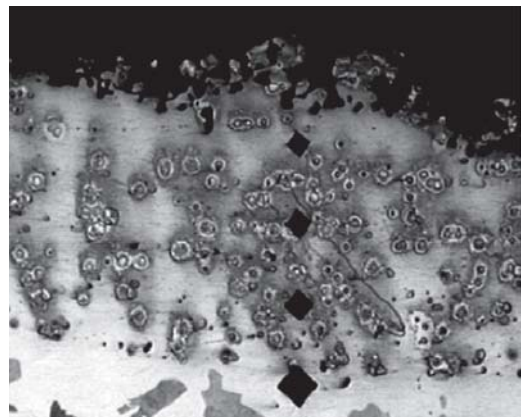
ชิ้นงานที่ใช้ในการทดลองครั้งนี้เป็นเหล็กคาร์บอนต่ำ AISI1020 ที่มีข่ายตามท้องตลาดทั่วไป มีส่วนผสมทางเคมี 0.1991 %C, 0.1725 %Si, 0.0121 %S, 0.0144 %P, 98.7454 %Fe เหล็กกล้าcarbonyl อนต่อสามารถนำไปเป็นโครงสร้างในล้วนต่าง ๆ ของผลิตภัณฑ์ จ่ายต่อการตัดแต่ง และนำมาใช้กันอย่างแพร่หลายในวงการอุตสาหกรรมเนื่องจากมีโครงสร้างที่ไม่ซับซ้อน นอกเหนือนี้ ยังนำมาสร้างชิ้นส่วนของเครื่องจักร ตลอดจนสามารถนำมาปรับปรุงพื้นผิวให้มีสมบัติดีขึ้น (John et al., 2009 และ Buchanan et al., 2007)

ส่วนผสมทางเคมีของกระบวนการ Pack Cementation ประกอบด้วย Ferro silicon 42% (ขนาดอนุภาค 70 mesh), Sand 17%, NH_4Cl 3%, Clay 12%, Liquid glass 26% โดยนำหน้าที่สำหรับการผสมส่วนผสมทางเคมีได้ใช้เครื่องผสมแบบ Ball Mill (Amado et al., 2008) ใช้เวลาผสม 10 นาที เตอบชุบที่นำมาใช้ในการทดลองแบบ Box Type โดยมีเงื่อนไขการทดลองที่อุณหภูมิอบชุบ 950 และ 1050 องศาเซลเซียส เวลาอบชุบในแต่ละช่วงอุณหภูมิ 20 และ 30 ชั่วโมง อัตราความร้อน 5 องศาเซลเซียสต่อนาที (Ching et al., 2004) และปล่อยชิ้นงานทดลองให้เย็นตัวภายในเตอบชุบจนถึงอุณหภูมิห้อง

2.3 การวิเคราะห์ลักษณะโครงสร้าง

เครื่องมือที่ใช้ในการวิเคราะห์ลักษณะโครงสร้างของชิ้นผิวแพร์ของชิ้นงานตัวอย่างทั้ง 4 การทดลอง ประกอบด้วยเครื่อง Optical Microscopy : OM, Scanning Electron Microscopy : SEM, Energy Dispersive

Spectrometer : EDS และการทดสอบค่าความแข็งของชิ้นผิวแพร์ใช้ระบบการทดสอบแบบ Vickers Micro-hardness น้ำหนักที่ใช้ในการทดสอบความแข็ง 200 กรัม เวลา 15 วินาที การวัดค่าความแข็งผิวแพร์เคลือบของชิ้นงานที่ผ่านการทำทดลองในแต่ละชิ้นจะทำการวัด 12 ตำแหน่ง ในแต่ละตำแหน่งจะทำการวัดจากผิวแพร์เคลือบเข้าไปภายในผิวชิ้นงาน 12 จุด โดยทำการวัดจุดแรกห่างจากผิวแพร์เคลือบเข้ามา 100 μm และจุดถัดไปห่างจุดละ 100 μm เช่นกัน ดังแสดงในรูปที่ 2

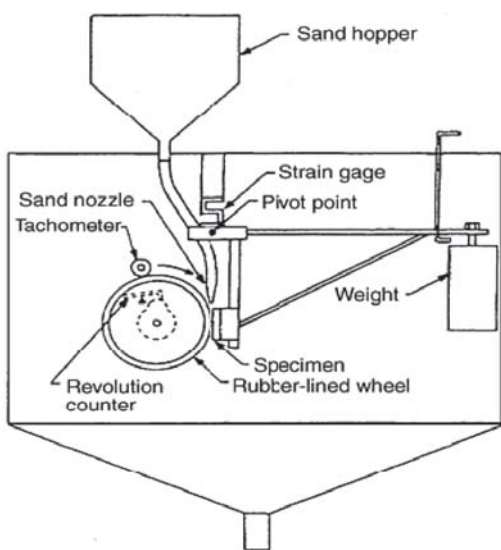


รูปที่ 2 ภาพตัดขวางของชิ้นงานในการวัดค่าความแข็งผิวแพร์

2.4 การทดสอบการสึกหรอ

ก่อนการทดสอบการลึกหรอแบบขุดขึ้น ชิ้นงานจะต้องทำความสะอาดด้วยอะซีโตน (Acetone) และทำการซั่นน้ำหนักบนเครื่องซั่งแบบไฟฟ้าที่มีความละเอียด 0.0001 กรัม (Wang et al., 2006) การทดสอบเป็นไปตามมาตรฐาน ASTM G65 โดยใช้เครื่องทดสอบแบบ Dry Sand/Rubber Wheel ดังแสดงในรูปที่ 3 ซึ่งประกอบด้วยล้อเหล็กและขอบยาง มีเส้นผ่าศูนย์กลาง 228 มิลลิเมตร กว้าง 12.7 มิลลิเมตร ความแข็งของยาง Curometer

$A-60 \pm 2$ อัตราการไหลของทรายที่ปลายท่อ 300 ถึง 400 กรัมต่อนาที และจะต้องสามารถนับจำนวนรอบของการหมุนของล้ออย่าง ตลอดจนสามารถวัดน้ำหนักของแรงกดซึ่งงานได้ แรงหรือน้ำหนักที่กดซึ่งงานจะต้องตั้งฉากกับการไหลของทราย



รูปที่ 3 เครื่องทดสอบ Dry Sand Rubber Wheel

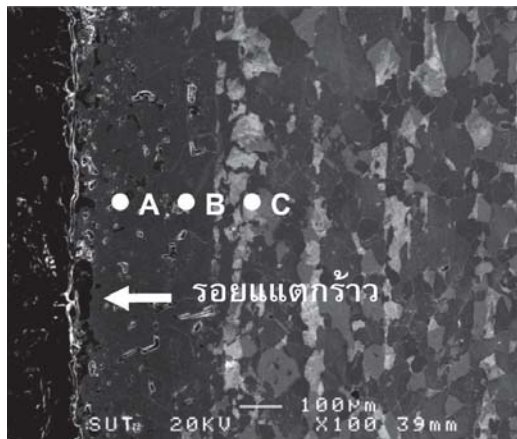
สำหรับเงื่อนไขการทดสอบที่ได้กำหนดไว้ประกอบด้วย แรงกดซึ่งงาน 49 นิวตัน ระยะในการทดสอบ 6 ระดับ คือ 718, 1436, 2154,

2872, 3590 และ 4308 เมตร ความเร็วของล้ออย่าง 200 รอบต่อนาที และอัตราการไหลของทราย 300 กรัมต่อนาที. สำหรับทรายที่นำมาทดสอบครั้งนี้เป็นทรายแก้วมีขนาด 212 ถึง 300 มิลลิเมตร และทำการอบที่อุณหภูมิ 150 องศาเซลเซียล เวลา 1 ชั่วโมง แล้วปล่อยให้เย็นตัวลง ถึงอุณหภูมิท้องก่อนจะนำมาทดสอบ หลังจาก การทดสอบในแต่ละช่วงระยะทางการทดสอบซึ่งงานจะต้องนำมาทำการทดสอบด้วยอะซีโตน และนำไปซึ่งน้ำหนัก และทำการบันทึกน้ำหนักที่สูญเสีย

3. ผลการทดลองและวิเคราะห์

3.1 โครงสร้างจุลภาค

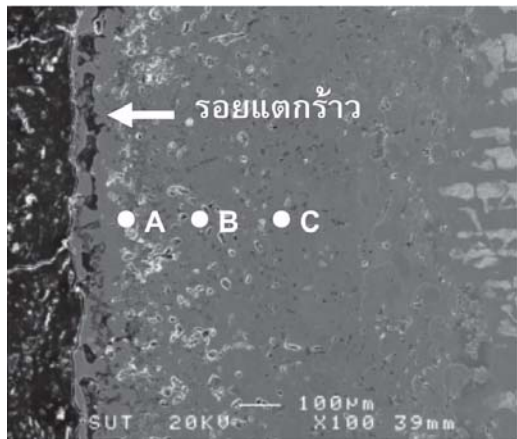
โครงสร้างที่เกิดขึ้นในชั้นผิวแพร์บันเหล็กกล้าคาร์บอน AISI1020 ที่ผ่านการ Pack Cementation ที่อุณหภูมิอบชุบ 950 และ 1050 องศาเซลเซียล เวลาอบชุบ 20 และ 30 ชั่วโมง ทำการวิเคราะห์ด้วยเครื่อง Scanning Electron Microscopy : SEM, Energy Dispersive Spectrometer : EDS ดังแสดงในรูปที่ 4 (a), (b) และรูปที่ 5 (a), (b) ตามลำดับ



Composition at. (semi-quantitative)

Location	Fe	Si
A	71.47	28.26
B	79.10	20.90
C	90.53	9.47

(a)



Composition at. (semi-quantitative)

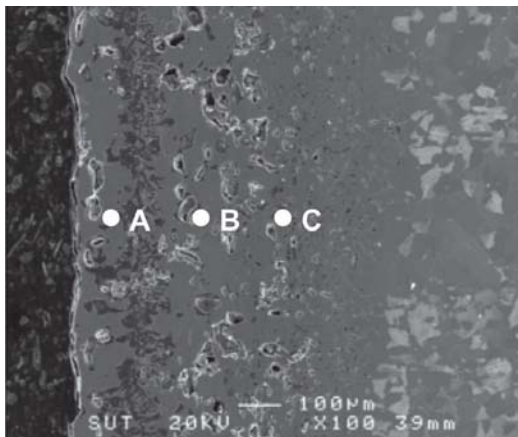
Location	Fe	Si
A	81.46	18.54
B	88.65	11.35
C	95.31	4.69

(b)

รูปที่ 4 โครงสร้างทางจุลภาคและองค์ประกอบทางเคมีของชั้นผิวแปรที่อุณหภูมิอบชุบ 950 องศาเซลเซียส (a) 20 ชั่วโมง (b) 30 ชั่วโมง

จากรูปที่ 4 (a) แสดงโครงสร้างทางจุลภาคและองค์ประกอบทางเคมีของชั้นผิวแปรชั้นงานที่ผ่านการอบชุบที่อุณหภูมิ 950 องศาเซลเซียส เวลาอบชุบ 20 ชั่วโมง ผลการทดลองพบว่า ปริมาณของซิลิคอนที่มากที่สุดจะอยู่ในบริเวณผิวน้ำขึ้นของชั้นผิวแปรในตำแหน่ง A ซึ่งมีปริมาณของซิลิคอน 28.26 at% และในตำแหน่ง B และ C มีปริมาณของซิลิคอน 20.90 และ 9.47 at% ตามลำดับ และเมื่อนำปริมาณของเปอร์เซ็นต์อะตอมซิลิคอนทั้งสามตำแหน่งเทียบกับแผนภาพสมดุลโลหะผสมเหล็กกับซิลิคอน พบว่า เฟลที่เกิดขึ้นในตำแหน่ง A, B และ C คือ เฟล Fe_{5}Si_3 , α_1 และ αFe ตามลำดับ

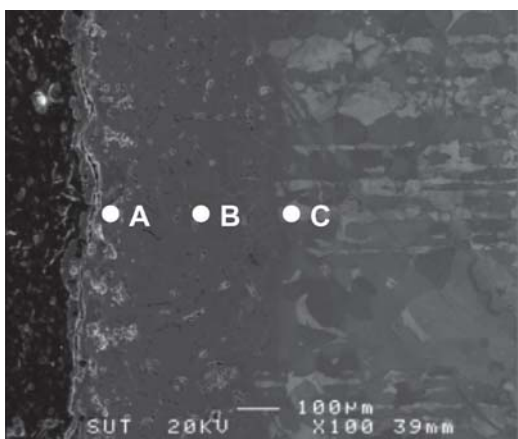
และจากรูปที่ 4 (b) แสดงโครงสร้างทางจุลภาคและองค์ประกอบทางเคมีของชั้นผิวแปรชั้นงานที่ผ่านการอบชุบที่อุณหภูมิ 950 องศาเซลเซียส เวลาอบชุบ 30 ชั่วโมง ผลการทดลองเป็นไปในลักษณะเดียวกับชั้นผิวแปรชั้นงานที่ผ่านการอบชุบเวลา 20 ชั่วโมง กล่าวคือ ปริมาณของซิลิคอนที่มากที่สุดจะอยู่ในบริเวณผิวน้ำขึ้นของชั้นผิวแปรในตำแหน่ง A ซึ่งมีปริมาณของอะตอม 18.54 at% และในตำแหน่ง B และ C มีปริมาณของอะตอม 11.35 และ 4.69 at% และเมื่อนำปริมาณของเปอร์เซ็นต์อะตอมทั้งสามตำแหน่งเทียบกับแผนภาพสมดุลโลหะผสมเหล็กกับซิลิคอน พบว่า เฟลที่เกิดขึ้นในตำแหน่ง A คือ เฟล α_1 จุด B และ C เฟลที่เกิดขึ้น คือ αFe นอกจากนี้ จะลังเกตเห็นบริเวณผิวน้ำขึ้นของชั้นผิวแปรจะมีรอยแตกร้าวซึ่งเป็นลักษณะแผ่นพิล์มของซิลิคอนออกไซด์ที่เกิดขึ้นระหว่างการอบชุบ และอาจจะมีผลต่อการต้านทานการลึกหรือต่อไป



Composition at. (semi-quantitative)

Location	Fe	Si
A	72.41	27.59
B	79.10	20.90
C	89.86	10.14

(a)



Composition at. (semi-quantitative)

Location	Fe	Si
A	79.68	20.32
B	85.95	14.05
C	91.84	8.16

(b)

รูปที่ 5 โครงสร้างทางจุลภาคและองค์ประกอบทางเคมีของชั้นผิวแพร่ที่อุณหภูมิอบชุบ 1050 องศาเซลเซียส (a) 20 ชั่วโมง (b) 30 ชั่วโมง

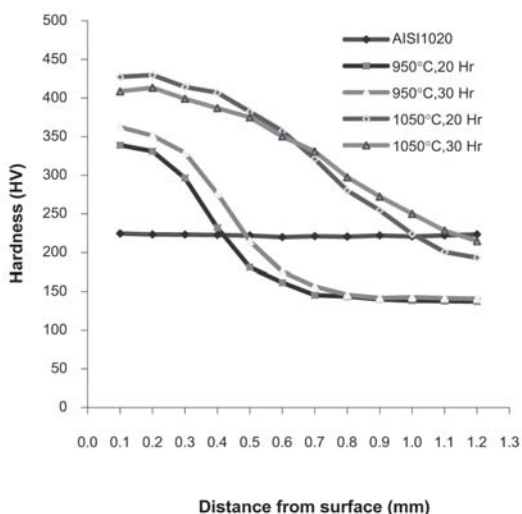
และจากรูปที่ 5 (a) แสดงโครงสร้างทางจุลภาคและองค์ประกอบทางเคมีของชั้นผิวแพร่ชิ้นงานที่ผ่านการอบชุบที่อุณหภูมิ 1050 องศาเซลเซียส เวลาอบชุบ 20 ชั่วโมง การทดลองเป็นไปในลักษณะเดียวกับชั้นผิวแพร่ชิ้นงานที่ผ่านการอบชุบที่อุณหภูมิ 950 องศาเซลเซียส กล่าวคือ ปริมาณของชิลลิคอนที่มากที่สุดจะอยู่ในบริเวณผิวน้ำข้อของชั้นผิวแพร่ในตำแหน่ง A ซึ่งมีปริมาณของอะตอม 27.59 at% และในตำแหน่ง B และ C มีปริมาณของอะตอม 20.90 และ 10.14 at% และเมื่อนำปริมาณของเปลอร์เซ็นต์อะตอมทั้งสามตำแหน่งเทียบกับแผนภาพสมดุลโลหะผสมเหล็กกับชิลลิคอน พบว่า เฟลที่เกิดขึ้นในตำแหน่งจุด A และ B คือ เฟล α_1 และจุด C คือ เฟล αFe

และจากรูปที่ 5 (b) แสดงโครงสร้างทางจุลภาคและองค์ประกอบทางเคมีของชั้นผิวแพร่ชิ้นงานที่ผ่านการอบชุบที่อุณหภูมิ 1050 องศาเซลเซียส เวลาอบชุบ 30 ชั่วโมง พบว่า ปริมาณของชิลลิคอนที่มากที่สุดจะอยู่ในบริเวณผิวน้ำข้อของชั้นผิวแพร่ในตำแหน่ง A ซึ่งมีปริมาณของอะตอม 20.32 at% และในตำแหน่ง B และ C มีปริมาณของอะตอม 14.05 และ 8.16 at% เฟลที่เกิดขึ้นในตำแหน่งจุด A คือ เฟล α_1 และเฟลที่เกิดขึ้นในตำแหน่งจุด B และ C คือ เฟล αFe และสิ่งที่ลังเกตอิกอย่างหนึ่ง คือ จากการทดลองครั้งนี้ พบว่า ปริมาณเปลอร์เซ็นต์ของชิลลิคอนจะลดลงตามความลึกของระยะผิวแพร่

3.2 ความเข้ม

ชิ้นงานที่ผ่านการอบชุบในแต่ละการทดลอง จะต้องนำมาตัดตามยาวและทำการขัดเจาด้วยกระดาษทรายน้ำและผงอลูมิเนียม เพื่อให้ได้มาซึ่งผิวที่มีความสะอาดและไม่มีรอยขูดขีด ตลอดจนเป็น

มันเจ้า เพื่อนำผิวแพร์ดังกล่าวไปวัดค่าความแข็ง และระยะความหนาของชั้นผิวแพร์ สำหรับการวัดค่าความแข็งของชั้นผิวแพร์จะวัดจากผิวนอกสุด ของชั้นผิวแพร์เข้าสู่ภายในชิ้นงาน โดยในแต่ละจุดท่างกัน 100 มิครอน ผลการทดลองที่ได้ตั้งแสดงในรูปที่ 6



รูปที่ 6 ภาพเปรียบเทียบค่าความแข็งเหล็กคาร์บอน AISI1020 ผ่านวิธี Pack Cementation อุณหภูมิอบซูบ 950 และ 1050 องศาเซลเซียล

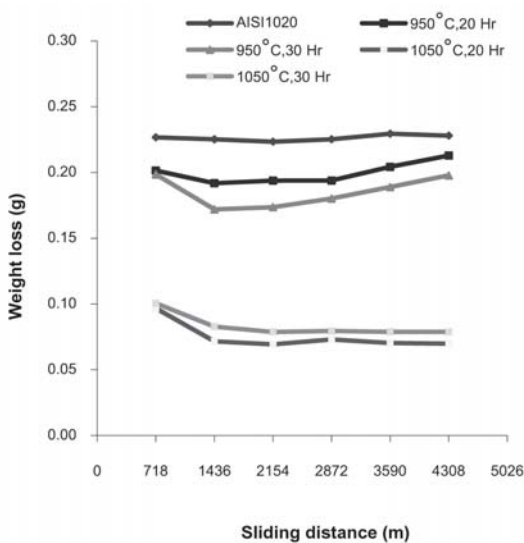
จากรูปที่ 6 เป็นภาพแสดงการเปรียบเทียบค่าความแข็งเหล็กคาร์บอน AISI1020 ผ่านวิธี Pack Cementation อุณหภูมิอบซูบ 950 และ 1050 องศาเซลเซียล ผลการทดลองพบว่า ความแข็งผิวของชิ้นงานที่ไม่ผ่านการอบซูบมีค่าความแข็งเฉลี่ย $214.6 \text{ HV}_{0.02}$ และค่าความแข็งผิวแพร์ของชิ้นงานผ่านการอบซูบที่อุณหภูมิ 950 องศาเซลเซียล เวลา 20 และ 30 ชั่วโมง มีค่าความแข็งผิวแพร์เคลือบเฉลี่ย 319.27 และ $332.28 \text{ HV}_{0.02}$ มีความหนาของชั้นผิวแพร์ 375.00 และ 435.00 มิครอน ตามลำดับ และค่าความแข็งผิวแพร์เคลือบ

ของชิ้นงานผ่านการอบซูบที่อุณหภูมิ 1050 องศาเซลเซียล เวลา 20 และ 30 ชั่วโมง มีค่าความแข็งผิวแพร์เคลือบเฉลี่ย 394.26 และ $377.22 \text{ HV}_{0.02}$ มีความหนาของชั้นผิวแพร์ 825.00 และ 910.00 มิครอน ตามลำดับ ค่าความแข็งของผิวแพร์ที่มีค่าสูงสุดสำหรับการทดลองนี้อยู่ภายใต้เงื่อนไขการอบซูบที่อุณหภูมิ 1050 องศาเซลเซียล เวลา 20 ชั่วโมง และค่าความแข็งที่ต่ำสุดอยู่ภายใต้เงื่อนไขการอบซูบที่อุณหภูมิ 950 องศาเซลเซียล เวลา 20 ชั่วโมง ส่วนระยะความหนาของชั้นผิวแพร์ที่หนาที่สุดอยู่ภายใต้เงื่อนไขการอบซูบที่อุณหภูมิ 1050 องศาเซลเซียล เวลา 30 ชั่วโมง และค่าที่ต่ำสุดอยู่ภายใต้เงื่อนไขการอบซูบที่อุณหภูมิ 950 องศาเซลเซียล เวลา 20 ชั่วโมง

ผลการทดลองค่าความแข็งชั้นผิวแพร์ครึ่งนี้พบว่าอุณหภูมิการอบซูบมีผลต่อค่าความแข็ง กว่าคือ เมื่ออุณหภูมิอบซูบเพิ่มขึ้นค่าความแข็งเพิ่มขึ้นตาม และเวลาการอบซูบจะไม่มีผลต่อค่าความแข็งผิวแพร์ ส่วนระยะความหนาของชั้นผิวแพร์พบว่า เมื่ออุณหภูมิและเวลาอบซูบเพิ่มขึ้นระยะผิวแพร์เพิ่มขึ้นตามเช่นกัน

3.3 การสึกหรอ

การทดสอบการลีกหรอภายใต้เงื่อนไขการทดสอบแบบ Dry Sand Rubber Wheel : DSRW ตามมาตรฐาน ASTM G65 น้ำหนักที่ใช้ในการกดชิ้นงาน 49 นิวตัน ระยะทางที่ใช้ในการทดสอบแต่ละช่วงทั้งกัน 718 เมตร และการหาอัตราการลีกหรอวัดได้จากน้ำหนักของชิ้นงานก่อนและหลังการทดสอบในแต่ละช่วงระยะทาง ซึ่งผลการทดลองดังแสดงในรูปที่ 7



รูปที่ 7 กราฟเปรียบเทียบอัตราการลึกหรือของเหล็ก AISI1020 ที่ผ่านวิธี Pack Cementation อุณหภูมิอบชุบ 950 และ 1050 องศาเซลเซียล

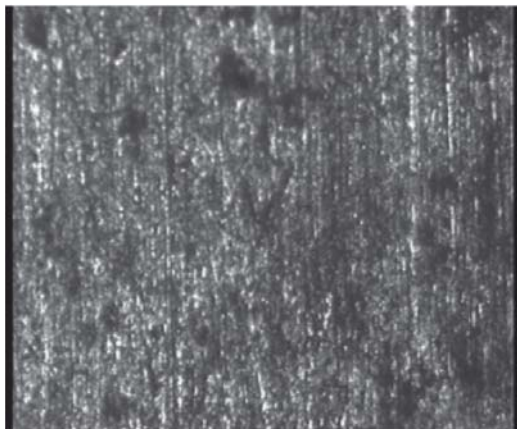
จากรูปที่ 7 เป็นกราฟเปรียบเทียบอัตราการลึกหรือของเหล็ก AISI1020 ที่ผ่านวิธี Pack Cementation อุณหภูมิอบชุบ 950 และ 1050 องศาเซลเซียล ผลการทดลอง พบว่า ชิ้นงานที่ไม่ผ่านการอบชุบ (AISI1020) มีอัตราการลึกหรือค่อนข้างสม่ำเสมอ เมื่อระยะเวลาการทดลองเพิ่มขึ้น โดยมีอัตราการลึกหรือเฉลี่ย 0.2264 กรัม และ เมื่อพิจารณาชิ้นงานที่ผ่านการอบชุบทั้ง 4 การทดลอง พบว่า ที่ระยะเวลาการทดลอง 718 เมตร มีอัตราการลึกหรือที่สูงและเป็นไปในลักษณะเดียวกัน ทั้งนี้อาจจะมาจากการแตกต่างของผิวน้ำ

ของชิ้นผิวแพร์เมิร์การเกาheyดิติดกันไม่ดี และอาจ จะมีการแตกกราฟของชิ้นผิวแพร์ และเมื่อพิจารณา อัตราการลึกหรือที่เกิดขึ้นกับชิ้นงานที่ผ่านการอบ ชุบที่อุณหภูมิ 950 องศาเซลเซียล เวลาอบชุบ 20 และ 30 ชั่วโมง พบร้า มีอัตราการลึกหรือเฉลี่ย 0.1997 และ 0.1852 กรัม และที่อุณหภูมิ 1050 องศาเซลเซียล เวลาอบชุบ 20 และ 30 ชั่วโมง มีอัตราการลึกหรือเฉลี่ย 0.0751 และ 0.0832 กรัม ตามลำดับ และเมื่อพิจารณาอัตราการลึกหรือของ ชิ้นผิวแพร์ที่มีค่าการลึกหรือสูงสุด คือ ชิ้นงานที่ผ่าน การอบชุบที่อุณหภูมิ 950 องศาเซลเซียล เวลาอบ ชุบ 30 ชั่วโมง และยังอัตราการลึกหรือต่ำสุดที่ชิ้น งานผ่านการอบชุบที่อุณหภูมิ 1050 องศาเซลเซียล เวลาอบชุบ 20 ชั่วโมง

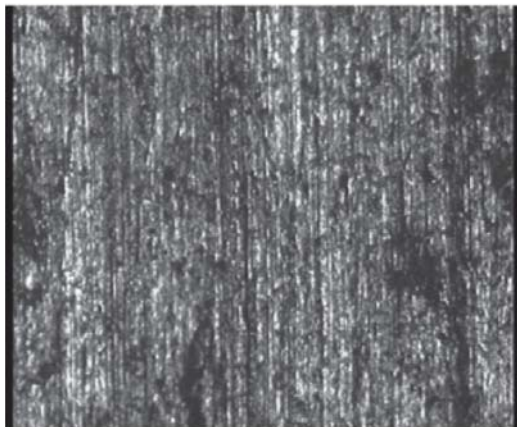
จากการทดลองครั้งนี้ พบร้า ระยะผิวแพร์ ยังมีความหนาอยู่ในการใช้งานของชิ้นงานยิ่งเพิ่มขึ้น และเมื่อชิ้นผิวแพร์มีค่าความแข็งเพิ่มสูงขึ้น การต้านทานการลึกหรือยิ่งเพิ่มสูงขึ้นตาม

3.4 ลักษณะการลึกหรือ

ลักษณะการลึกหรือที่เกิดขึ้นบนชิ้นผิวแพร์ ของเหล็กกล้าคาร์บอน AISI1020 ที่ผ่านการอบชุบ ที่อุณหภูมิ 950 และ 1050 องศาเซลเซียล เวลา อบชุบ 20 และ 30 ชั่วโมง ผลการทดลองดัง ในรูปที่ 8 (a), (b) และรูปที่ 9 (a), (b)



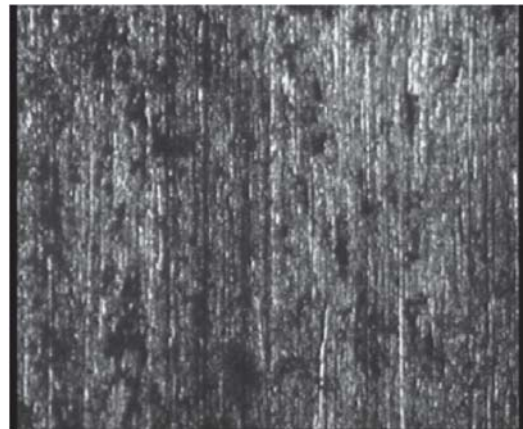
(a)



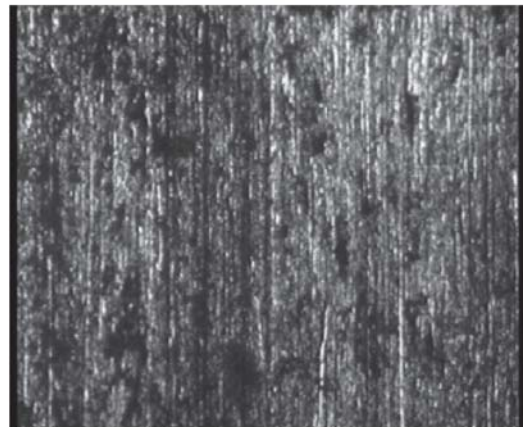
(b)

รูปที่ 8 ลักษณะการลึกครอบนั่้นผิวแพร่ที่อุณหภูมิ อบชุบ 950 องศาเซลเซียส (a) เวลาอบชุบ 20 ชั่วโมง (b) เวลาอบชุบ 30 ชั่วโมง

จากรูปที่ 8 (a) และ (b) แสดงลักษณะการลึกครอบของชั้นผิวแพร่ที่อุณหภูมิอบชุบ 950 องศาเซลเซียส เวลาอบชุบ 20 และ 30 ชั่วโมง ลักษณะการลึกครอบที่เกิดขึ้นมีลักษณะแบบราบเรียบ ทั้งนี้ มีผลมาจากการค่าความแข็งของชั้นผิวแพร่ที่มีค่าค่อนข้างต่ำ จึงทำให้ชั้นผิวแพร่ลึกครอบได้ง่าย และ การเกะยีดของชั้นผิวแพร่ไม่เป็นเนื้อเดียวกัน ทั้งที่โครงสร้างในบริเวณผิวน้ำหน้าของชั้นผิวแพร่มีโครงสร้างเป็นเฟล Fe_5Si_3 ซึ่งมีค่าความแข็งกว่าโครงสร้าง α_1



(a)



(b)

รูปที่ 9 ลักษณะการลึกครอบนั่้นผิวแพร่ที่อุณหภูมิ อบชุบ 1050 องศาเซลเซียส (a) เวลาอบชุบ 20 ชั่วโมง (b) เวลาอบชุบ 30 ชั่วโมง

และจากรูปที่ 9 (a) และ (b) แสดงลักษณะการลึกครอบของชั้นผิวแพร่ที่อุณหภูมิอบชุบ 1050 องศาเซลเซียส เวลาอบชุบ 20 และ 30 ชั่วโมง ลักษณะการลึกครอบที่เกิดขึ้นมีลักษณะแบบร่องลึก (Grooves) และเลื่อนยาว (Cutting) ทั้งนี้มีผลมาจากการค่าความแข็งของชั้นผิวแพร่ที่สูง ประกอบกับการเกะยีดของชั้นผิวแพร่มีลักษณะเป็นเนื้อเดียวกัน และในขณะที่มีค่าความแข็งเพิ่มสูงขึ้น ค่าความerasive ของชั้นผิวแพร่ย่อมเกิดขึ้นตาม

ຈຶ່ງອາຈະສ່າງຜລໃຫ້ໜັ້ນຜົວແພຣີນສ່ວນທີ່ມີຄວາມປ່ຽນ
ເກີດກາຮັກໂຮງແບບຮ່ວງລຶກໄດ້

4. ສຮຸປ

ຈາກກາຮັກໂຮງພູດຕິກຣມກາຮັກໂຮງແບບ
ໝູດຂີດຂອງໜັ້ນຜົວແພຣີໂດຍກາຮ Pack Cementation
ບນໍ້າຮັກລໍາຄາຮັບອນຕໍ່ສາມາຮຄສຽບປຸກກາຮ
ທດລອງໄດ້ ດັ່ງນີ້

4.1 ອຸນໜູມືແລະເວລາກາຮອບໜູບມືຜລຕ່ອໜາ
ຂອງໜັ້ນຜົວແພຣີ ກລ່າວຄືອ ອຸນໜູມືແລະເວລາກາຮອບ
ໜູບເພີ່ມສູງເຂົ້າທຳໃຫ້ໜັ້ນຜົວແພຣີມີຄວາມໜາກເພີ່ມເຂົ້າ
ອຸນໜູມືອບໜູບທີ່ 1050 ອົງຄາເຊລເຊີຍລ ເວລາອບໜູບ
30 ຊົ່ວໂມງ ມີຄວາມໜາກຂອງໜັ້ນຜົວແພຣີມາກທີ່ສຸດເລີ່ມ
910 ໄມຄຣອນ

4.2 ອຸນໜູມືອບໜູບມືຜລຕ່ອໜາຄວາມແຂ້ງຂອງ
ໜັ້ນຜົວແພຣີ ກລ່າວຄືອ ອຸນໜູມືອບໜູບເພີ່ມເຂົ້າ ທຳໃຫ້
ຄວາມແຂ້ງຂອງໜັ້ນຜົວແພຣີເພີ່ມເຂົ້າຕາມອຸນໜູມືອບ
ໜູບທີ່ 1050 ອົງຄາເຊລເຊີຍລ ມີຄວາມແຂ້ງນາກທີ່ສຸດ
ເລີ່ມ 394.26 HV_{0.02}

4.3 ຄ່າຄວາມແຂ້ງຂອງໜັ້ນຜົວແພຣີມືຜລຕ່ອກາຮ
ຕ້ານທານກາຮັກໂຮງ ກລ່າວຄືອ ຄ່າຄວາມແຂ້ງຂອງໜັ້ນ
ຜົວແພຣີຢີ່ເພີ່ມເຂົ້າກາຮຕ້ານທານກາຮັກໂຮງຢີ່ເພີ່ມເຂົ້າ
ທີ່ຄ່າຄວາມແຂ້ງໜັ້ນຜົວແພຣີເລີ່ມ 394.26 HV_{0.02}
ມີອັຕຣາກາຮັກໂຮງຕໍ່ສຸດເລີ່ມ 0.0751 ກຣັມ

4.4 ໂຄງລ້ວງເຟັລ α_1 ທີ່ເກີດເຂົ້າໃນໜັ້ນຜົວແພຣີ
ທີ່ອຸນໜູມືອບໜູບ 1050 ອົງຄາເຊລເຊີຍລ ມືຜລຕ່ອ
ກາຮຕ້ານທານກາຮັກໂຮງໄດ້ກີກວ່າ ໂຄງລ້ວງເຟັລ
 Fe_5Si_3 ທີ່ເກີດເຂົ້າໃນໜັ້ນຜົວແພຣີທີ່ອຸນໜູມືອບໜູບ 950
ອົງຄາເຊລເຊີຍລ

4.5 ລັກຂະນະກາຮັກໂຮງທີ່ເກີດເຂົ້າບນໍ້າໜັ້ນຜົວ
ແພຣີຈະມີລັກຂະນະແບບຮາບເຮັຍລຳຮັບໜັ້ນຜົວແພຣີ
ທີ່ມີຄ່າຄວາມແຂ້ງຕໍ່ ແລະຈະມີລັກຂະນະແບບຮ່ວງລຶກ
(Grooves) ແລະແບບເລັ້ນ (Cutting) ລຳຮັບໜັ້ນຜົວ
ແພຣີທີ່ມີຄ່າຄວາມແຂ້ງ

5. ກົດຕິກຣມປະກາດ

ງານວິຈີຍນີ້ໄດ້ຮັບການສັນບັນດາກາຮໃໝ່ເຄື່ອງມືອ
ແລະສັນນາທີ່ໃນກາຮທດລອງຈາກ ສາຂາວິສະກຣມ-
ອຸດສາທກາຮ ຄະະວິສະກຣມສາລຕົວ ມາວິທາລັ້ຍ
ເທັກໂນໂລຢີຮາໝາງຄລຄວິວັ້ນ ແລະກາຄວິວິສະກຣມ-
ອຸດສາທກາຮ ຄະະວິສະກຣມສາລຕົວ ມາວິທາລັ້ຍ
ອຸບລຮາຊານີ ແລະຂອຂອບຄຸນບຸກລາກຮຸກທຸກທ່ານ ທີ່ເທິ
ຄວາມຊ່ວຍເຫຼືອໃນດ້ານຕ່າງໆ ຈັກໃຫ້ງານວິຈີຍຄັ້ງນີ້
ສໍາເລັດລຸ່ວງດ້ວຍຕີ

6. ເອກສາຮວ້າງວັງ

ສູພຣ ອຸທິກັດີ, ນກິລສພຣ ມິມງຄລ, ລ່າງວນ ຕັ້ງໂພທີອຣວມ,
ເສັ່ນທີ່ ຂັ້ນຮາດາລັກຂະນົນ ແລະສົມພຣ ພົງຄ່ອງຈຣ.

2547. ກາຮັກໂຮງຂອງຜົວເຊື່ອມ
ພອກແຂ້ງເພື່ອຫາຍຸກາຮໃໝ່ຈານດ້ວຍລວດ
ເຊື່ອມພອກແຂ້ງໜົດຕໍ່າງໆ ۱. ສາຂາວິສະກຣມ-
ອຸດສາທກາຮ ຄະະວິສະກຣມສາລຕົວ
ມາວິທາລັ້ຍສົງຂາລານຄຣິນທຣ.

ສູພຣ ອຸທິກັດີ, ສຸຂອັກຄນາ ລີ, ສຸວິຍາ ຫຼືຄລວັດີ,
ເຈຣີນ ຊຸມມາລ, ນລິນ ເພຍຣທອງ, ແລະນກິລສພຣ
ມິມງຄລ. 2552. Improving the Surface

Hardening by Pack Cementation on
AISI1020 Steel. ກາຮປະຊຸມວິສະກຣມ
ຂ່າຍງານວິສະກຣມອຸດສາທກາຮ ປະຈຳປີ
2552, ໂຮງແຮມພູລແມນຂອນແກ່ນ ຮາຊາອອົດ,
ຂອນແກ່ນ, 21-22 ຕຸລາຄມ ພ.ສ. 2552.

- สุพร ฤทธิภักดี, และสุรพล สุภาวดน์. 2553. การลึกหรือแบบขัดลึกของเนื้อเติมลวดเชื่อม พอกผิวแข็งบนเหล็กกล้า AISI1020. การประชุมวิชาการข่ายงานวิศวกรรม อุตสาหการ ประจำปี 2553, โรงแรมสุนีย์ แกรนด์ แอนด์ คอนเวนชั่นเซ็นเตอร์, อุบลราชธานี, 13-15 ตุลาคม พ.ศ. 2553.
- ASM Handbook. 1995. Mechanical Testing. Vol. 08. United States of America. ASM International. pp. 90-103, 604-607.
- Amado Cruz Crespo, Américo Scotti, Manuel Rodriguez Pérez. 2008. Operational behavior assesment of coated tubular electrodes for SMAW hardfacing. journal of processing technology 199, 265-273.
- Ching-Yuan Baia, Yi-Jun Luob, Chun-Hao Koob. 2004. Improvement of high temperature oxidation and corrosion resistance of superalloy IN-738LC by pack cementation. Surface and Coatings Technology 183 (2004), 74-88.
- John J. Coronado, Holman F. Caicedo and Adolfo L. Gómez. 2009. The effects of Welding processes on abrasive wear resistance for hardfacing deposits. Tribology International 42, 745-749.
- Milo Dumovic. 2002. Repair and Maintenance Procedures for Heavy Machinery Components. Welding Technology Centre The Lincoln Electric Company. Australia.
- S.-H. Wang, J.-Y. Chen, L. Xue. 2006. A study of the abrasive wear behaviour of laser-clad tool steel coatings. Surface & Coatings Technology 200 (2006) 3446-3458.
- S. Selvi, S.P. Sankaran, R. Srivatsavan. 2008. Comparative study of hardfacing of valve seat Ring using MMAW process. journal of materials processing technology 207, 356-362.
- V.E. Buchanan, P.H. Shipway, D.G. McCartney. 2007. Microstructure and abrasive wear Behaviour of shielded metal arc welding hardfacings used in the sugarcane industry. Wear 263 (2007) 99-110.
- V. Jankauskas, R. Kreivaitis, D. Milčius, A. Baltušnikas, 2008. Analysis of abrasive wear performance of arc welded hard layers. Wear 265 (2008) 1626-1632.
- Vernon E. Buchanan. 2009. Solidcation and microstructural characterisation of iron-chromiu based hardfaced coatings deposited by SMAW and electric arc spraying. Surface & Coatings Technology 203, 3638-364.
- X.H. Wang, F. Han b, X.M. Liu, S.Y. Qu, Z.D. Zou. 2008. Effect of molybdenum on the microstructure and wear resistance of Fe-based hardfacing coatings. Materials Science and Engineering A 489, 193-200.